

پترولوزی توده های نفوذی گرانیتوئیدی ده رود در شمال سبزواران (جیرفت)

محمد حاجیان^۱، بهنام مهرaban^۲، علی خان نصر اصفهانی^۳

چکیده

توده های گرانیتوئیدی ده رود در شمال سبزواران (جیرفت)، در بخش جنوب شرقی زون ارومیه- دختر (نوار دهچ- ساردوئیه) واقع شده اند. این توده ها در بین سنگهای آتشفسانی و آتشفسانی تخریبی (توفهای سبز، آندزیت، آندزیت بازالت و غیره) انسن میانی تا بالائی تزریق شده اند. براساس مشاهدات صحرایی، پتروگرافی و نمودارهای ژئوشیمیابی دارای ترکیب گرانو دیوریت، کوارتز دیوریت، مونزونیت، دیوریت، مونزون دیوریت و گابرو می باشند. میکرو آنکلاوهای مافیک بو فور در این توده نفوذی دیده می شود و دایک هایی با ترکیب میکرو گابرو دیوریت این توده ها را قطع می کنند. در دیاگرام های ژئوشیمیابی، طیف پیوسته ای بین ترکیبات سنگی مشاهده می شود که مبین تفریق ماغماهی است. روندهای تغییرات در نمودارهای عناصر سازگار و ناسازگار در مقابل یکدیگر نشانده نهاده پیوستگی و ارتباط ترکیبی از نوع تبلور تفریقی بین نمونه ها می باشد. از لحاظ تقسیم بندهای ژنتیکی، توده های گرانیتوئیدی مزبور از نوع گرانیتوئیدهای I می باشد. در دیاگرام های ژئوشیمیابی، این توده ها دارای ماهیت متا آلومین تا اندکی پرآلومین و کالکو آلکالن پتاسیم بالا می باشند. با توجه به نمودارهای مختلف تمایز محیط تکتونیکی، این توده ها در محیط VAG (گرانیت های قوس آتشفسانی) و CAG (گرانیتوئیدهای برخورد قاره ای) قرار می گیرند و نتیجه فرورانش صفحه اقیانوسی نیوتیس به زیر صفحه قاره ای ایران مرکزی هستند. با جایگزینی توده های گرانیتوئیدی، دگرسانی آرژیلیتی و پروپلیتی گسترهای سنگهای گرانیتوئیدی و سنگهای میزبان را تحت تاثیر قرار داده است.

کلمات کلیدی: پترولوزی، ژئوشیمی، گرانیتوئید

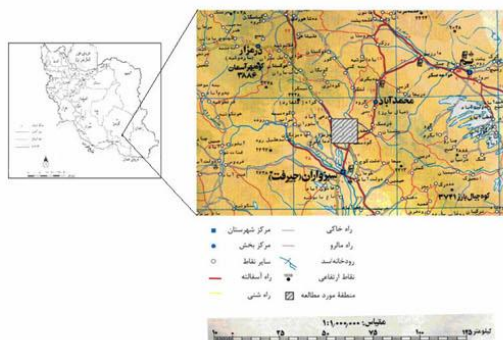
موقعیت جغرافیایی و راههای ارتباطی

منطقه مورد مطالعه بین طولهای 57° تا 52° شرقی و عرضهای جغرافیایی $28^{\circ}50'$ تا $28^{\circ}55'$ شمالی واقع است این محدوده در شمال دشت سبزواران قرار داشته و ارتفاعات بین رشته کوههای جبال بارز و بحر آسمان را شامل می گردد. بزرگترین و مهمترین بخش در نزدیکی این محدوده، جیرفت (سبزواران)، مرکز شهرستان سبزواران است (شکل ۱).

¹- گروه زمین شناسی دانشگاه آزاد اسلامی واحد خوراسگان

²- کارشناسی ارشد پترو لوزی دانشگاه صنعتی شاهرود

³- گروه زمین شناسی دانشگاه آزاد اسلامی واحد خوراسگان



شکل ۱) موقعیت جغرافیایی و راههای دسترسی به منطقه مورد مطالعه

مطالعات قبلی

تا کنون استان کرمان توسط محققین زیادی مورد مطالعه قرار گرفته است (پیلگریم^۱، ۱۹۲۴)، کلپ^۲ (۱۹۴۰)، هوکریده و همکاران^۳ (۱۹۶۲)، دیمیتروویچ^۴ (۱۹۷۳). اکثر مطالعات صورت گرفته در سالیان اخیر در سبزواران، توسط سازمان زمین شناسی انجام شده است (سهمیلی، ۱۳۶۷)، (سودی شعار و همکاران، ۱۳۷۹)، (کارگر و سرمهد، ۱۳۷۹)، (امیر مطلبی، ۱۳۷۹)، (موسوی ماقوئی، ۱۳۷۹)، (نظری، ۱۳۷۹)، (وعاضی بور، ۱۳۷۹)، (بدخشنان ممتاز، ۱۳۸۰)، (رفاهی، ۱۳۷۹)، (واله و باباخانی، ۱۳۷۹). از آنجاییکه حجم قابل توجهی از سنگهای آذرین منطقه مورد مطالعه را توده‌های گرانیتوئیدی تشکیل می‌دهند، لذا جهت روشن شدن ماهیت ژئوشیمیایی، ماغماتیسم و مسائل تکتونوماگمایی منطقه، بررسی مسائل سنگ شناسی توده‌های مذبور ضرورت می‌یابد.

نمونه برداری و روش مطالعه

به منظور شناسایی دقیق سنگ‌های گرانیتوئیدی منطقه مورد مطالعه تعداد ۱۱۵ مقطع نازک تهیه و توسط میکروسکوپ پلاریزان مورد مطالعه قرار گرفت. از میان آنها تعداد ۱۱ نمونه جهت انجام آنالیزهای شیمیایی به روش ICP-MS Act lab به آزمایشگاه Act lab کانادا ارسال و با استفاده از نرم افزارهای پترولوژیکی Minpet, Gcdkit, Igpet, Newpet مورد تجزیه و تحلیل قرار گرفت.

زمین شناسی عمومی منطقه مورد مطالعه

منطقه مورد مطالعه در جنوب استان کرمان واقع است و براساس تقسیم‌بندی واحدهای ساختمانی ایران به نقل از اشتولکلین (۱۹۷۲؛ اصلاح شده توسط شهاب پور، ۱۹۹۴) جزئی از زون ماغمایی سهند-بزمان محسوب می‌شود. براساس تقسیم‌بندی واحدهای زمین شناسی و زمین ساختی کرمان (دیمیتروویچ،

¹- Pilgrim

²- Clapp

³- Hukride

⁴- Dimitrojevic,M,D

(۱۹۷۳) جزء کمربند دهنج- ساردوئیه است. دیمیتریوچ (۱۹۷۳) بخش جنوبی کمربند ولکانیکی سهند- بزمان یا ارومیه- دختر کرمان را بنام نوار دهنج- ساردوئیه معرفی نموده است. بربریان و همکار (۱۹۸۱)، در درویش زاده، (۱۳۸۲)، سن توده‌های جبال بارز را ۱۲ تا ۱۸ میلیون سال اعلام داشته است. در همین مورد باید از نوشته کنراد و همکار (در درویش زاده، ۱۳۸۲) یاد کرد که به عقیده آنها اکثر توده‌های نفوذی جبال بارز به میوسن تعلق دارند.

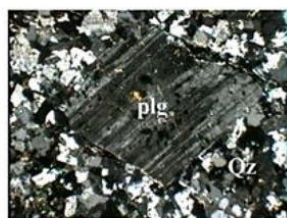
پتروگرافی توده‌های مورد مطالعه

از نظر پتروگرافی توده‌های گرانیتوئیدی ده رود دارای ترکیب سنگ شناسی در حد گرانوودیوریت بوده و در حواشی تا کوارتز دیوریت، کوارتز مونزوودیوریت، دیوریت و گابرو- دیوریت نیز تغییر می‌کنند. سنگهای مورد نظر غالباً بافت گرانولار داشته، گرچه بافت‌های اینترگرانولار و پوئی کلیتیک نیز مشاهده می‌شود.

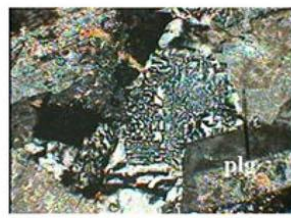
حجم غالب توده‌های نفوذی منطقه، گرانوودیوریت‌ها می‌باشند که در بین سنگهای ولکانیکی اثوسن رخمنون پیدا کرده‌اند. در نمونه ۸ دستی دارای رنگ خاکستری تا خاکستری مایل به سبز و تمام بلورین است. در مقاطع میکروسکوپی، معمولاً دارای بافت گرانولار بوده و گاهی موقع بافت گرافیکی، پورفیروئیدی و پوئی کلیتیکی نیز در آنها دیده می‌شود (شکل ۲A, 2B). در برخی قسمتها دارای انکلاوهایی از بخش‌های زودتر سرد شده خود هستند. کانی‌های اصلی شامل پلازیوکلاز، کوارتز، فلدسپات پتانسیم و هورنبلند می‌باشد. پلازیوکلاز فراوانترین کانی گرانوودیوریت است (۴۷-۶۰٪). ترکیب آنها در حد الیگوکلاز- آندزین است. بصورت شکل دار تا نیمه شکل دار بوده و دارای اندازه ۱ تا ۳ میلیمتر در سنگ می‌باشد و بصورت پورفیری در بین کانیهای دیگر دیده می‌شود. غالباً دارای ماکل پلی سنتیک و یا منطقه بندی ترکیبی است. حاوی ادخالهایی از آپاتیت و کانی اپک بوده که نشانگر تبلور پلازیوکلاز بعد از تشکیل آپاتیت و کانیهای اپک اولیه می‌باشد. پلازیوکلاز در اغلب موارد، دگرسانی زیادی را متحمل شده و در حال تجزیه به سریسیت می‌باشد. کوارتز بیش از ۲۰ درصد سنگ را تشکیل می‌دهد و معمولاً به صورت بی‌شکل بوده و غالباً فضای خالی بین کانی‌های دیگر را اشغال نموده است که این امر نشانگر تبلور کوارتز در مراحل پایانی و بعد از کانیهای دیگر است. اندازه دانه‌های آن ۰/۱ تا ۱ میلی متر بوده و در برخی قسمتها، به اشکال رشته‌ای و مثلثی شکل که حاصل رشد توازن کوارتز با فلدسپارها است، دیده می‌شود.

فلدسپات آلكالن تقریباً ۱۲ تا ۲۰ درصد سنگ را شامل می‌شود که غالباً کاتولینیتی شده می‌باشد ارتوز، در سنگهای گرانوودیوریتی معمولاً بصورت یک فاز تأخیری ایجاد گردیده و بهمین دلیل سایر کانیها مانند هورنبلند، پلازیوکلاز و آپاتیت را در برگرفته است. با توجه به خصوصیات نوری، ترکیب آمفیبولها در حد هورنبلند سبز می‌باشد که فراوان‌ترین کانی مافیک موجود در گرانوودیوریت‌هاست (۳-۷ درصد) و غالباً نیمه شکل دار تا شکل دار است. در بعضی مقاطع، متاسوماتیسم پتانسیک هورنبلند سبز را به بیوتیت تبدیل کرده است (شکل 2D). در طی فرایند بیوتیت‌زایی، مقادیری اسفن و کانی اپک تشکیل گردیده، که بصورت ادخال دیده می‌شوند. علاوه بر این، در اغلب موارد تبدیل هورنبلند به کلریت بوضوح به چشم می‌خورد. در برخی موارد، هورنبلند به کلریت، اپیدوت و مقداری اکسید آهن دگرسان شده است. پیروکسن به مقدار کم و در حدود ۱ درصد در گرانوودیوریت‌ها دیده می‌شود. بیوتیت بصورت نیمه شکل دار تا شکل دار بوده و دارای

پلکوکرودیتیسم قهقهه‌ای تیره تا روشن می‌باشد و غالباً بصورت ثانویه و به ندرت اولیه در مقاطع مشاهده نمود. اسفن هم بصورت اولیه (بندرت) و بیشتر ثانویه دیده می‌شود. کائیهای اپک، غالباً از نوع اکسیدهای آهن و تیتانومگنتیت هستند. آپاتیت بصورت نیمه شکل دار تا شکل دار بوده و عموماً بصورت انکلووزیون در پلازیوکلاز دیده می‌شود (شکل ۲C). کلریت، اپیدوت، کلسیت و کائیهای رسی از مهمترین کانی‌های ثانویه می‌باشند.



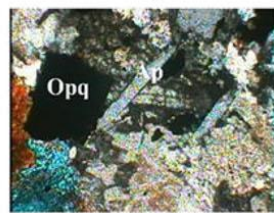
شکل ۲B



شکل ۲A



شکل ۲D



شکل ۲C

شکل ۲A) بافت گرافیکی در گرانودیوریتها ناشی از رشد همزمان کوارتز و فلدسپات در نقطه اتکتیک (نور xpl، بزرگنمایی ۴۰ برابر).

شکل ۲B) بافت پورفیروئیدی در گرانودیوریتها، فنوکریست پلازیوکلاز در بین قطعات ریز کوارتز و ارتوز و پلازیوکلاز قرار گرفته است (نور xpl، بزرگنمایی ۴۰ برابر).

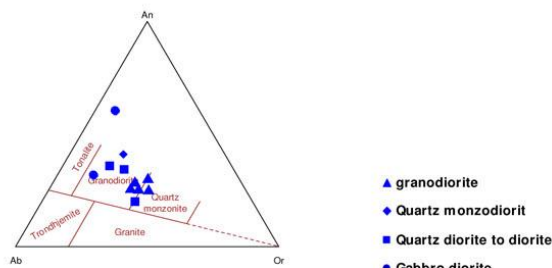
شکل ۲C) بلورهای سوزنی شکل آپاتیت در وسط مقطع به همراه کانی اپک درشت در گرانودیوریتها (نور xpl، بزرگنمایی ۴۰ برابر).

شکل ۲D) بیوتیت زایی هورنبلنڈ در بالای گوشۀ سمت چپ تصویر، منطقه بندی ترکیبی پلازیوکلاز در وسط و بلور نیمه شکل دار هورنبلنڈ با رنگ سبز و حاوی کانی اپک بین آنها در گرانودیوریتها (نور xpl، بزرگنمایی ۴۰ برابر).

Plg: پلازیوکلاز؛ Qz: کوارتز؛ Ap: آپاتیت؛ Opq: اورتیت؛ Bio: بیوتیت؛ Hlb: هورنبلنڈ

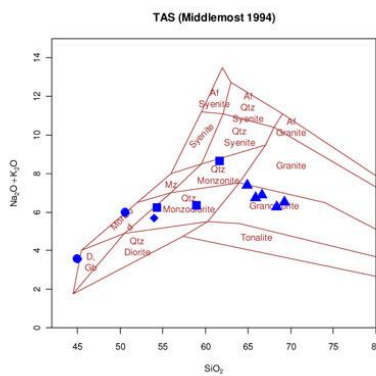
طبقه بندی

در نمودار مثلثی آلیت- ارتوز- آنورتیت (اکانر (۱۹۶۵) و عبدالرحمان (۱۹۹۰)) نمونه‌های منطقه مورد مطالعه در محدوده‌های گرانودیوریت، تونالیت و کوارتز مونزونیت قرار می‌گیرند (شکل ۳).



شکل (۳) طبقه بندی نورماتیو اکتر (۱۹۶۵) برای نمونه های گرانیتoidی ده رود. تمام علائم استفاده شده در فصول مشابه علائم بکار رفته در این شکل می باشد.

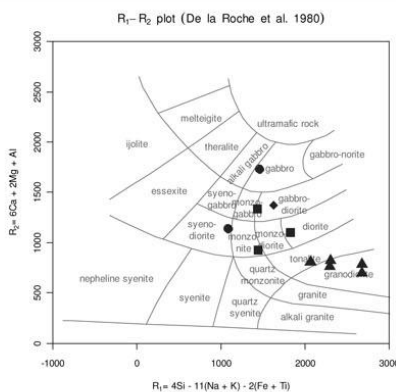
در طبقه بندی شیمیایی میدلموست^۱ (۱۹۹۴) نیز نمونه های مورد مطالعه در محدوده گرانودیوریت، کوارتزمونزونیت، مونزودیوریت و کوارتزمونزودیوریت قرار می گیرند (شکل ۴).



شکل (۴) طبقه بندی ژئوشیمیایی سنگهای نفوذی با استفاده از نمودار مجموع آلکالی در مقابل سیلیس (میدلموست، ۱۹۹۴).

بر طبق طبقه بندی R2-R1 دلارش و همکاران نمونه های مورد مطالعه در محدوده گابرو، گابرو دیوریت، مونزونیت، تونالیت، سینودیوریت و گرانودیوریت قرار می گیرند (شکل ۵).

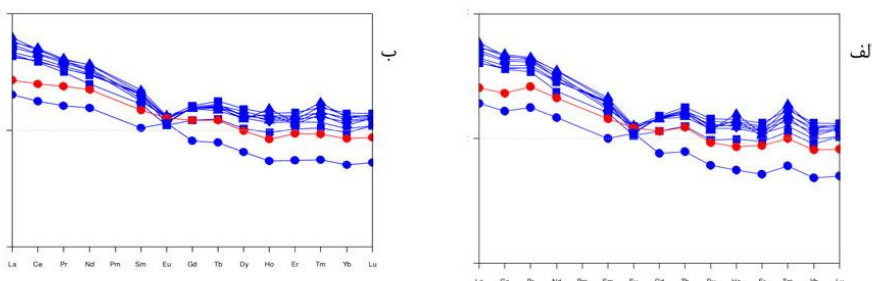
Middlemost-¹



شکل ۵) موقعیت نمونه‌های منطقه مورد مطالعه در نمودار طبقه‌بندی سنگهای نفوذی با استفاده از پارامترهای R₁-R₂ (دلاوش و همکاران، ۱۹۸۰).

دیاگرام‌های عنکبوتی

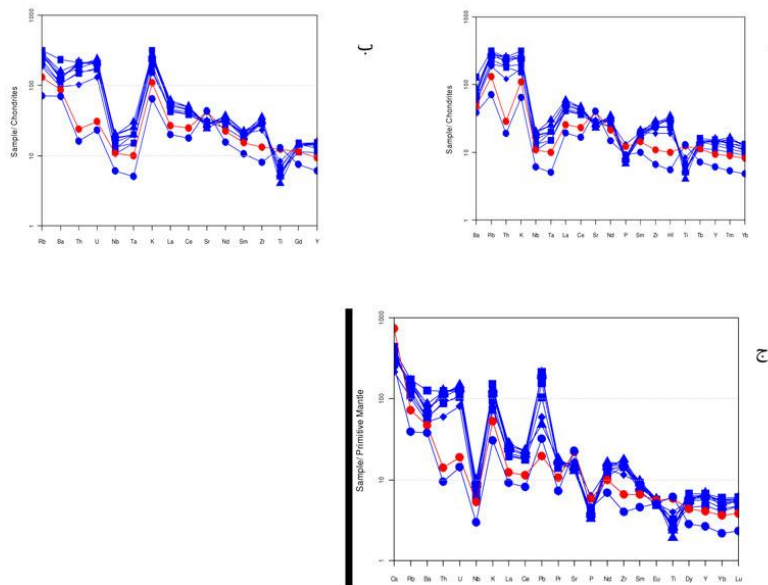
بطور کلی در نمودارهای عنکبوتی بهنجار شده عناصر کمیاب خاکی سبک(LREE) نسبت به عناصر کمیاب خاکی سنگین(HREE) در نمونه هاغنی شدگی بیشتری نشان می‌دهند(شکل ۶). نمونه‌های سنگی منطقه در نمودار چند عنصری تامپسون^۱(۱۹۸۲) و سان^۲ و همکاران (۱۹۸۰) که نسبت به کندریت بهنجار شده‌اند. در این نمودارها مقادیر Th, Ba, Rb, K, LREE و HREE مقداری قابل ملاحظه‌ای دارند. تغییر در مقادیر این عناصر عمدتاً در ارتباط با دگرسانی رخ داده در سنگهای منطقه و تحرک بالای این عناصر می‌باشد و در مورد Ti, P, Ta, Nb, HREE آنماقی منفی نشان می‌دهند(شکلهای ۷-الف و ۷-ب).



شکل ۶) نمودارهای عنکبوتی عناصر کمیاب خاکی بهنجار شده با کندریت برای سنگهای منطقه ده رود. (الف) ناکامورا (۱۹۷۴) و (ب) بوینتون (۱۹۸۴).

Thompson - ^۱
Sun & et al - ^۲

در نمودارهای چند عنصری بهنجار شده نسبت به گوشه اولیه سان و مک دونوف(۱۹۸۹) نیز غنی شدگی قابل ملاحظه عناصر Cs, Rb, Ba, Th, U, K, Pb و آنومالی منفی Ti, P, Nb, La, Ce می شود (شکل ۷-ج). همچنین LREE ها غنی شدگی بیشتری نسبت به HREE ها نشان می دهند. افزایش عناصر باریم و روبيديوم بعلت تبلور کانیهای پلاژيوکلاز در این سنگها می باشد به عقیده برخی محققین، آنومالی منفی Ti, P, Nb, La, Ce از ویژگیهای سنگهای قاره ای و از مشخصات مagmaهای وابسته به فرورانش است. همچنین تهی شدگی عناصر از چپ به راست در این دیاگرامها از ویژگیهای بارز نواحی کوهزایی است و نیز غنی شدگی LREE ها در سریهای کالکوآلکالن عادی است(گیل^۱, ۱۹۸۱؛ هاوکسورث^۲ و همکاران, ۱۹۹۱؛ وودهد^۳ و همکاران, ۱۹۹۳؛ پیرس و همکاران, ۱۹۹۹؛ کاستیلو^۴ و همکاران, ۲۰۰۶).



شکل ۷) نمودارهای عنکبوتی چند عنصری سنگهای منطقه

(الف) نمودار عنکبوتی چند عنصری بهنجار شده نسبت به کندریت تامپسون (۱۹۸۲)، (ب) نمودار عنکبوتی چند عنصری بهنجار شده نسبت به کندریت سان (۱۹۸۰). (ج) نمودار عنکبوتی چند عنصری بهنجار شده نسبت به گوشه اولیه پیرس (۱۹۸۳) برای سنگهای منطقه مورد مطالعه. علائم بکار رفته در تمام نمودارها یکسان است.

²⁻Gill

³⁻Hawkesworth et al.

⁴⁻Woodhead et al.

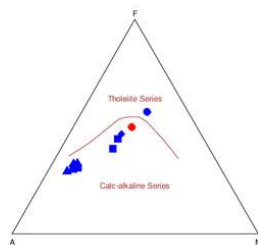
⁵⁻Castillo et al.

اولین همایش ملی معدن و محیط زیست

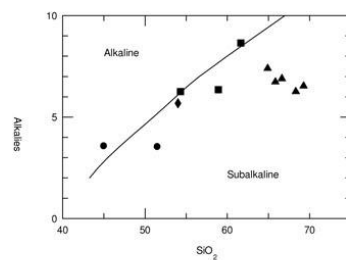
اردیبهشت ماه ۸۸

جایگاه زمین ساختی - ماقمایی

در نمودار $\text{SiO}_2 - \text{Na}_2\text{O} + \text{K}_2\text{O}$ (ایروین و باراگار^۱ ۱۹۷۱) بر اساس درصد وزنی مجموع آلکالی در برابر سیلیس، نمونه‌های منطقه مورد مطالعه در محدوده ساب آلکالن قرار می‌گیرند(شکل ۸). سنگ‌های آذرین ساب آلکالن می‌توانند از نوع تولثیتی یا کالکوآلکالن باشند. جهت تفکیک آنها می‌توان از نمودار سه تابی ایروین و باراگار یا ویلسون بهره برد. بر اساس این نمودار، سنگ‌های منطقه در محدوده سری کالکوآلکالن قرار می‌گیرند(شکل ۹).



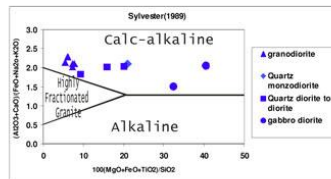
شکل ۹) نمودار AFM ایروین و



شکل ۸) نمودار ایروین و باراگار (۱۹۷۱) جهت تفکیک
باراگار (۱۹۷۱) جهت تفکیک

محدوده‌های تولثیتی و کالکوآلکالن و
تفکیک قلمروهای سریهای آلکالن و ساب آلکالن.
موقعیت نمونه‌های منطقه در آن.

در O_2 در مقابل $(\text{MgO} + \text{FeO} + \text{TiO}_2)/\text{SiO}_2$ ۱۰۰* تمامی نمونه‌های منطقه مورد مطالعه در
محدوده کالکوآلکالن قرار می‌گیرند(شکل ۱۰).



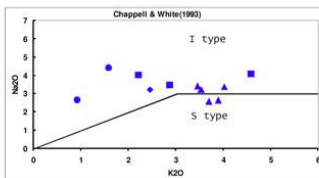
مطالعه شکل ۱۰) دیاگرام سیلوستر (۱۹۸۹) جهت تعیین سری ماقمایی سنگ‌های منطقه مورد

جایگاه تکتونیکی گرانیت‌های مورد مطالعه بر اساس عناصر اصلی
در نمودار K_2O در مقابل N_2O چپل و وايت(۱۹۹۳)، نمونه‌ها در محدوده گرانیت‌تoidهای نوع I
قرار دارد(شکل ۹).

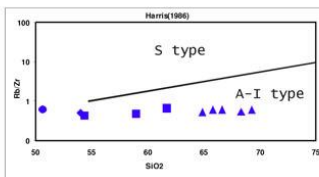
اولین همایش ملی معدن و محیط زیست

اردیبهشت ماه ۸۸

درنمودار SiO_2 در مقابل Rb/Zr هریس^۱ و همکاران(۱۹۸۶)، نمونه‌ها در محدوده تیپ A و I قرار می‌گیرند(شکل ۱۲).

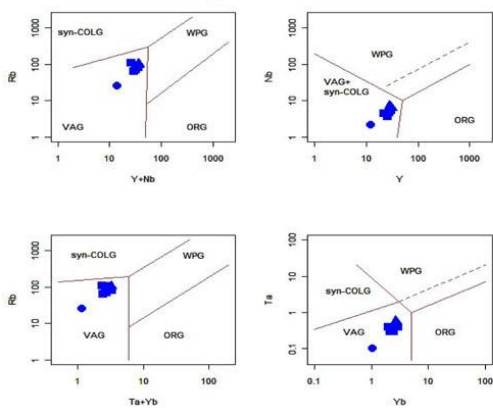


شکل ۱۱) نمودار K_2O در مقابل Na_2O جهت تفکیک گرانیتوئیدهای نوع I و S (چبل و وايت، ۱۹۹۳).



شکل ۱۲) نمودار Rb/Zr در مقابل SiO_2 هریس(۱۹۸۶) جهت تمایز گرانیتوئیدهای S ، A و I.

پیرس و همکاران(۱۹۸۴) بمنظور تفکیک گروههای گرانیتوئیدی مزبور، نمودارهایی را که بر مبنای عناصر دارای بار و شعاع یونی بالا استوار بوده و براساس داده‌های ژئوشیمیایی وسیع در سطح جهان پایه گذاری شده ارائه نموده‌اند. در نمودار لگاریتمی $\text{Y}+\text{Nb}$ در مقابل Rb ، تمام نمونه‌ها در قلمرو گرانیتهای قوس آتشفسانی (VAG) قرار می‌گیرند. بعلاوه در نمودار لگاریتمی Nb در مقابل Y ، نمونه‌های مورد نظر در محدوده $\text{VAG} + \text{SynCOLG}$ (گرانیتهای قوس آتشفسانی و همزمان با برخورده) قرار می‌گیرند(شکل ۱۳).



شکل ۱۳) نمودارهای پیرس و همکاران(۱۹۸۴) جهت تمایز محیط تکتونیکی گرانیتوئیدها بر اساس عناصر کمیاب

Harris^{-۱}

نتيجه گيري کلي

۱. منطقه مورد مطالعه در شمال جیرفت واقع شده است و جزئی از زون ماگماتیک ارومیه- دختر(بخش جنوبی) می باشد که رخدادهای مربوط به این بخش را در خود ثبت کرده است.
۲. توده های گرانیتیوئیدی ده رود غالباً مشتمل از گرانودیوریت، کوارتز دیوریت، کوارتز مونزونودیوریت، دیوریت و گابرو دیوریت می باشد و علاوه بر کانیهای اصلی همچون کوارتز، پلاژیوکلاز، فلدسپات آلکالن و هورنبلند، در بردارنده کانیهای فرعی بیوتیت، کلینوپیروکسن(غالباً اوژیت)، اسفن، آپاتیت، اپاک و کانیهای ثانویه اپیدوت، کلریت، سریسیت و کانیهای رسی می باشد.
۳. وجود روند خطی مثبت در نمودارهای جفت عناصر ناسازگار و روند خطی منفی در نمودار عناصر ناسازگار در برابر عناصر سازگار، مبنی تبلور تفریقی در سنگهای منطقه مورد مطالعه است و تبلور بخشی با جدایش کانیهای نظری پلاژیوکلاز و هورنبلند همراه بوده است.
۴. در نمودارهای عنکبوتی منطقه مورد مطالعه، عناصر ناسازگار سیک غنی شدگی بیشتری نسبت به عناصر کمیاب سنگین از خود نشان می دهند که این خصوصیت از ویژگیهای بارز سنگهای کالکوآلکالن قوس آتشفسانی زونهای فرورانش حاشیه قاره ای است.
۵. آنومالی منفی نیوبیوم در نمودارهای عنکبوتی، میین آغشتنگی ماگما با مواد پوسته ای و ارتباط ماگما با مناطق فرورانش و آنومالی منفی TiO_2 احتمالاً مرتبط با ترکیب شیمیایی منبع یا مشخصه سنگهای مرتبط به فرورانش است.
۶. در نمودارهای ژئوشیمیایی، توده ها دارای ماهیت کالکوآلکالن پتاسیم بالا می باشند و از نظر شاخص اشباع از آلومین، پرآلومین تا اندرکی متاآلومین هستند.
۷. با توجه به ویژگیهای صحرایی، کانی شناسی و ژئوشیمیایی توده های گرانیتیوئیدی ده رود و مقایسه آنها با اختصاصات انواع گرانیتها ، این سنگها در گروه گرانیتهای تیپ I قرار می گیرند.
۸. گرانیتیوئیدهای منطقه مورد مطالعه بر اساس نمودارهای متمایز کننده محیط های تکتونیکی از نوع گرانیتیوئیدهای CAG و VAG می باشند.
۹. از مطالعات انجام شده چنین بر می آید که توده های گرانیتیوئیدی ده رود بعد از ائوسن در قسمت جنوبی زون ارومیه- دختر تزریق و جایگزین شده است و حاصل فرورانش پوسته اقیانوسی نثوتیس به زیر پوسته قاره ای ایران مرکزی هستند.

منابع

- امیر مطلبی، نسرین (۱۳۷۹). گزارش پردازش و تفسیر ژئوفیزیک هوایی با استفاده از روش مغناطیس سنجدی در ورقه یکصد هزارم سبزواران، پروژه اکتشاف سیستماتیک در کمرنگ ارومیه- دختر.
- بدخشان ممتاز، قیس (۱۳۸۰). گزارش بررسیهای اکتشافی چکشی و ژئوشیمیایی در بلوک دو(جبال بارز- سبزواران- حنا) فاز دوم اکتشافی، پروژه اکتشاف سیستماتیک در کمرنگ ارومیه- دختر.

اوین های ملی معدن و محیط زیست

اردیبهشت ماه ۸۸

- درویش زاده، علی، ۱۳۷۶، پترولوجی تجربی و کاربردهای آن، انتشارات دانشگاه تهران، ۵۳۷ ص.
- سودی شعار و همکاران، پیام (۱۳۷۹) گزارش اکتشاف زئوژیمیابی سیستماتیک در محدوده نقشه یکصد هزارم سبزواران.
- سهیلی، متوجه (۱۳۶۷). گزارش وجود اندیس طلا در محدوده نقشه یکصد هزارم سبزواران، سازمان زمین شناسی کشور.
- کارگر، روزبه و سرمد (۱۳۷۹). گزارش اکتشافات معدنی با استفاده از داده‌های ماهواره‌ای در ورقه یکصد هزارم سبزواران، سازمان زمین شناسی کشور.
- نقشه ۱/۱۰۰۰ سبزواران، سازمان زمین شناسی کشور با همکاری گروه یوگسلاد (۱۹۷۳).
- موسوی ماقوئی، علی (۱۳۷۹). تهیه نقشه مقدماتی پتانسیل مواد معدنی در گستره یکصد هزارم سبزواران با بهره‌گیری از سیستم‌های اطلاعات جغرافیایی GIS.
- واله ناصر؛ باباخانی، علیرضا (۱۳۷۹). نقشه سبزواران، نقشه فنی فارسی.
- نظری، حمید (۱۳۷۹). گزارش زمین شناسی ساختمانی و تکتونیک ورقه یکصد هزارم سبزواران پژوهه اکتشاف سیستماتیک بر روی کمریند ارومیه- دختر.

-Abdol Rahman, A.M., 1990. Petrology of early-orogenic diorite, tonalities and post orogenic trondjemites in Nubian shield Journal Petrology 31, 1285-1312.

- Berberian, M., and King, G.C.P., 1981. Towards a pale geography and tectonic evolution of Iran. Can. J. Earth Sci., 18, 210-256.

-Chappell, B.W.,White. A.J.R, 1974.Two contrasting granite types pacific geology, vol.8,173-174.

- Clap, F.G, 1940. Geology of Eastern Iran. Geol. Soc. Amer. Bull; Vol, 51, No.1, pp1-101, 13 pls.(Incl. col. G. map), Jan, 1940.

- De La Roche, H., Leterrier, J., Grande Claude, P. and Marchal, M., 1980. A classification of volcanic and plutonic rocks using R1-R2 diagrams and major element analyses _ its relationship and current nomenclature. Chem. Geol., 29, 183-210.

- Dimitrijevic, M.D. (1973), Geology of Kerman region. Geol.Surv.of Iran, Yu/52,334 p.

- Harris, N.B.W.,Pearce,J. A.,A., Tindle, A.G., 1986.Geochemi calcharacteristic of collision-zone magmatism. In: coward,M.P.,Ries,A.C.(Eds.), collision Tectonice. Geological society London special publication19,pp.67-81.

- Irvine, T.N., and Baragar, W.R.A., 1971. A guide to chemical classification of the common volcanic rocks. Can. J. Sci., 8, 523-548.

- Middlemost, E.A.K., 1989. Iron oxidation ratios, norms and the classification of volcanic rocks. Chem. Geol., 77, 19-26

- Abdol Rahman, A.M., 1990. Petrology of early-orogenic diorite, tonalities and post orogenic trondjemites in Nubian shield Journal Petrology 31, 1285-1312.

- Berberian, M., and King, G.C.P., 1981. Towards a paleogeography and tectonic evolution of Iran. Can. J. Earth Sci., 18, 210-256.

-Chappell, B.W.,White. A.J.R, 1974.Two contrasting granite types pacific geology, vol.8,173-174.

- Clap, F.G, 1940. Geology of Eastern Iran. Geol. Soc. Amer. Bull; Vol, 51, No.1, pp1-101, 13 pls.(Incl. col. G. map), Jan, 1940.

- De La Roche, H., Leterrier, J., Grande Claude, P. and Marchal, M., 1980. A classification of volcanic and plutonic rocks using R1-R2 diagrams and major element analyses _ its relationship and current nomenclature. Chem. Geol., 29, 183-210.

- Dimitrijevic, M.D. (1973), Geology of Kerman region. Geol.Surv.of Iran, Yu/52,334 p.

- Harris, N.B.W., Pearce, J. A., A., Tindle, A.G., 1986. Geochemical characteristic of collision-zone magmatism. In: Coward, M.P., Ries, A.C. (Eds.), *Collision Tectonics*. Geological Society London Special Publication 19, pp. 67-81.
- Irvine, T.N., and Baragar, W.R.A., 1971. A guide to chemical classification of the common volcanic rocks. *Can. J. Sci.*, 8, 523-548.
- Middlemost, E.A.K., 1989. Iron oxidation ratios, norms and the classification of volcanic rocks. *Chem. Geol.*, 77, 19-26